

Министерство высшего и среднего специального образования  
Р С Ф С Р

---

Ордена Трудового Красного Знамени  
Научно-исследовательский радиофизический институт (НИРФИ)

Препринт № 81

ОПРЕДЕЛЕНИЕ ВЫСОТНЫХ ПРОФИЛЕЙ  
ТЕМПЕРАТУРЫ ИЗ НАЗЕМНЫХ РАДИОМЕТРИЧЕСКИХ  
ИЗМЕРЕНИЙ АТМОСФЕРНОГО ИЗЛУЧЕНИЯ

В.И.Алешин, А.П.Наумов, В.М.Плечков,  
М.И.Сумин, А.В.Троицкий.

Горький - 1975 г.

## Аннотация

Обсуждается ряд физических аспектов постановки и решения задачи по определению высотных профилей температуры из угломестных и спектральных радиометрических измерений атмосферного излучения в области  $\lambda \sim 5$  мм. Оцениваются вариации яркостной температуры атмосферы, обусловленные вариациями основных метеопараметров (температуры, давления и влажности). Анализируется корреляционная связь между величинами яркостной температуры и приземной температуры атмосферы. Приведены результаты восстановления профилей температуры из экспериментальных данных. Дискутируется точность определения высотных профилей.

В последние годы радиометрические измерения атмосферного излучения в области спин-вращательной полосы поглощения  $O_2$ , центрированной к  $\lambda \approx 5$  мм, для последующего восстановления высотных профилей температуры в нижней атмосфере выполнялись в работах [1,2]. Определение высотных профилей температуры осуществляется из абсолютных спектральных, угловых или комбинированных (спектральных и угловых) измерений атмосферного излучения. Аналогичные спектральные измерения в спутниковом варианте выполнены в [3] (обзор микроволновых измерений со спутника "Нимбус-5" содержится в [4]).

В данной работе исследуется ряд физических аспектов постановки задачи по дистанционному зондированию атмосферы в области  $\lambda \approx 5$  мм с поверхности Земли, приведены результаты восстановления высотных профилей температуры из экспериментальных данных, полученных весной и летом 1974 г., и дискутируется точность полученных результатов. Из физических вопросов рассмотрены вопросы, связанные с определением вариаций яркостных температур атмосферы в полосе  $O_2$   $\lambda = 5$  мм, и поставлен вопрос об объективной мере ценности наземных радиометрических измерений атмосферного излучения, поскольку в некоторых случаях (и в определенной степени) не исключается связь яркостных температур атмосферы с приземными значениями метеопараметров.

1. Вариации яркостных температур на различных частотах  $\nu$  и зенитных углах  $\theta$ , обусловленные вариациями основных метеопараметров атмосферы (температуры, дав-

ления, влажности), в данной работе вычислялись по формуле

$$\delta T_{\text{я}v}(\theta) = \sqrt{\frac{1}{n-1} \sum_{i=1}^n [T_{\text{я}v}^i(\theta) - \bar{T}_{\text{я}v}(\theta)]^2}, \quad (1)$$

в которой текущие и средние значения  $T_{\text{я}v}^i(\theta)$ ,  $\bar{T}_{\text{я}v}(\theta)$ , в свою очередь, рассчитывались по стандартным формулам с использованием результатов аэрологического зондирования атмосферы (около 90 зондов для каждого среднесезонного месяца) в Центральной части ЕТС.

Изменения  $\delta T_{\text{я}}$  с вариациями яркостных температур  $\delta T_{\text{я}}$ , обусловленными только температурными эффектами (соответствующие оценки  $\delta T_{\text{я}}$  выполнены в [5]), следует, что разница между ними невелика (в зенитном направлении  $\sim 0,5^{\circ}\text{K}$ ) в области  $\nu = 53-60 \text{ ГГц}$  и возрастает до  $1+2^{\circ}\text{K}$  в области  $\nu = 50+52 \text{ ГГц}$ . Зависимость  $\delta T_{\text{я}}(\nu, \theta=0^{\circ})$  в отличие от вариаций, обусловленных только температурными эффектами, не достигает нулевых значений в рассматриваемом участке.

Поскольку вариации  $\delta T_{\text{я}v}(\theta)$  являются естественной мерой точности при формулировке требований к радиометрической аппаратуре для зондирования атмосферы, то более подробные исследования зависимости вариаций  $\delta T_{\text{я}}$  от зенитного угла выполнялись в работе для рабочих частот радиометра, с помощью которого проводились абсолютные измерения атмосферного излучения [6,7]. На оптимальной частоте радиометра  $\nu = 53,4 \text{ ГГц}$  соответствующие вариации достигают в континентальном районе при  $\theta = 0^{\circ} \sim 5,9^{\circ}\text{K}$  летом и  $4,8^{\circ}\text{K}$  зимой, а при  $\theta = 85^{\circ} \sim 6,7^{\circ}\text{K}$  летом и  $7,9^{\circ}\text{K}$  зимой. Соответствующие вариации в тропической зоне океана заметно меньше:  $\sim 1,6^{\circ}\text{K}$  при  $\theta = 0^{\circ}$  и  $1,1^{\circ}\text{K}$  при  $\theta = 85^{\circ}$ . Из приведенных сведений следует, что точность зондирования атмосферы на выбранной частоте в континентальном районе должна быть не хуже  $1+1,5^{\circ}\text{K}$  (см. также [5]), а к зондированию атмосферы в тропической зоне океана должны предъявляться еще более жесткие требования.

2. На рис. 1 яркостные температуры атмосферы  $T_y$  на частоте  $\nu = 53,4 \text{ Гц}$  и зенитных углах  $\theta = 0^\circ, 85^\circ$ , вычисленные по результатам аэрологического зондирования атмосферы в 1971-1974 гг. для среднесезонных месяцев (январь, апрель, июль) в Центральной части ЕСС, сопоставлены с соответствующими приземными значениями температуры  $T_o$ . Оценка коэффициентов корреляции по приведенным на рисунке выборочным значениям дают: зимой  $\hat{\rho}_{T_o, T_y}(\theta=0^\circ) = 0,36$ , летом  $\hat{\rho}_{T_o, T_y}(\theta=0^\circ) = 0,86$ ,  $\hat{\rho}_{T_o, T_y}(\theta=85^\circ) = 0,98$ . Линии регрессий  $\hat{T}_y(\theta)$  по  $T_o$  для летнего периода года описываются уравнениями, определенными методом наименьших квадратов ( $\nu = 53,4 \text{ Гц}$ ):

$$\hat{T}_y(\theta = 0^\circ) = 25,44 + 0,661 T_o(^{\circ}\text{K}),$$

$$\hat{T}_y(\theta = 85^\circ) = 10,12 + 0,956 T_o(^{\circ}\text{K}). \quad (2)$$

Выборочные стандартные отклонения  $T_y$  от прогнозируемых по (2) значений  $\hat{T}_y$  составляют:  $\sigma_{T_y, T_o}(\theta = 0^\circ) = 2,28^{\circ}\text{K}$ ,  $\sigma_{T_y, T_o}(\theta = 85^\circ) = 1,05^{\circ}\text{K}$ . Вероятности нахождения значений  $T_y$  по (2) с погрешностями, не превышающими  $1^{\circ}\text{K}$  и  $1,5^{\circ}\text{K}$ , в случае нормального закона распределения ошибок, равняются: при  $\theta = 0^\circ \Phi = 0,34$  и  $0,49$ , а при  $\theta = 85^\circ \Phi = 0,65$  и  $0,85$ .

Полученные результаты свидетельствуют о невысокой точности возможного прогноза  $\hat{T}_y$  по величинам  $T_o$  даже в летний, более благоприятный, период года (особенно при наблюдениях при небольших зенитных углах). Поэтому измерения яркостных температур атмосферы с погрешностями в  $1 \pm 1,5^{\circ}\text{K}$  континентальном районе действительно уменьшают неопределенность в информации о состоянии атмосферы по сравнению с априорными оценками по среднеклиматическим данным. Разумеется, что при дальнейшем повышении точности радиометрических измерений (например, до  $\delta T_y \sim 0,5^{\circ}\text{K}$ ) будет возрастать и ценность этих измерений для решения рассматриваемой задачи. Указанная величина  $\delta T_y$  приближается и к точности зондирования, при которой в спектре излучения атмосферы могут быть зафиксированы особенности, обусловленные температурными инверсиями [8].

3. Восстановление профилей температуры в данной работе осуществлялось для безоблачных дней методом статистической регуляризации [9]. Исходное уравнение Фредгольма 1-го рода для восстановления профилей получается из решения уравнения переноса излучения в атмосфере в приближении Релея-Джинса:

$$T_{\text{я}}(\theta) = \frac{1}{\cos \theta} \int_{P_0}^{\rho_0} T(P) \left\{ \frac{10^2 \bar{\gamma}(P, T)}{\rho_0(P, T) g} \exp \left[ -\frac{1}{\cos \theta} \int_p^{\rho_0} \frac{10^2 \bar{\gamma}_V(P', T)}{\rho_0(P', T) g} dp' \right] \right\} dP \quad (3)$$

В (3)  $\rho_0$  — плотность воздуха в г/см<sup>3</sup>,  $g$  — ускорение силы тяжести в см/сек<sup>2</sup>, коэффициент поглощения  $\bar{\gamma}$  выражен в км<sup>-1</sup>, давление  $P$  — в мбар.

Основные параметры радиометра, использовавшегося в измерениях, методика измерений, вопросы калибровки измерений и другие аналогичные вопросы рассмотрены в [6, 7]. Точность измерений яркостной температуры составляла  $\pm 1,5$  К. При решении задачи считалось, что распределение водяного пара в атмосфере известно<sup>+)</sup>. Оптимизация условий наблюдения при спектральных и угломестных измерениях атмосферного излучения в аспекте решения рассматриваемой задачи в рамках метода статистической регуляризации выполнена в [5, 10].

Восстановление профилей температуры в данной работе осуществлялось в основном из угломестных радиометрических измерений на фиксированной частоте, но в методических целях проводилось и сравнение результатов восстановления по угломестным и спектральным (при небольшом разбросе рабочих частот) измерениям атмосферного излучения как с введением в решение дополнительной информации о температуре  $T_0$  в приземном слое атмосферы, так и без введения соответствующей информации. Следует однако отметить, что угломестные измерения атмосферного излучения в данной работе выполнялись обычно в условиях, более приближающихся к оптимальным [10], нежели соответствующие спектральные измерения.

<sup>+)</sup> Неучет коэффициента поглощения водяного пара в (3) может привести в летних условиях к погрешностям  $T_{\text{я}}$  равным  $\sim 1+8$  К при  $\theta = 0^\circ$  и  $\sim 0,1+0,4$  К при  $\theta = 80^\circ$ .

Примеры восстановления профилей из экспериментальных данных приведены на рис. 2,3. Там же результаты восстановления профилей сравниваются с результатами аэро-логического зондирования атмосферы, среднеклиматическими профилями и профилями, построенными методом оптимальной экстраполяции [11] по приземным значениям  $T_0$ .

Из полученных результатов восстановления профилей температуры следует:

- 1) Высотные профили температуры в общем удовлетворительно (при реализованной точности радиометрических измерений) восстанавливаются в нижних слоях атмосферы ( $h \approx 0 + 3$  км). Разность между восстановленными значениями и фактическими (зондовыми) данными  $T(P)$  не превышала, как правило,  $1 + 2^{\circ}\text{K}$ .
- 2) Для большинства рассмотренных дней восстановленные профили из угломестных радиометрических измерений атмосферного излучения оказались предпочтительнее профилей, рассчитанных методом оптимальной экстраполяции.
- 3) Профили температуры, восстановленные из угломестных измерений атмосферного радиоизлучения на фиксированной частоте, оказались предпочтительнее в общем профилей, восстановленных из спектральных (при малом разносе рабочих частот  $\delta\nu \sim 1$  Гц) измерений в зенитном направлении.
- 4) При наличии инверсий ошибка восстановления температуры на высотах инверсий возрастала на несколько градусов.

Дальнейшее совершенствование измерительной аппаратуры и развитие методов решения соответствующей обратной задачи должны стимулировать дальнейший прогресс дистанционных радиофизических методов определения параметров атмосферы.

## Л И Т Е Р А Т У Р А

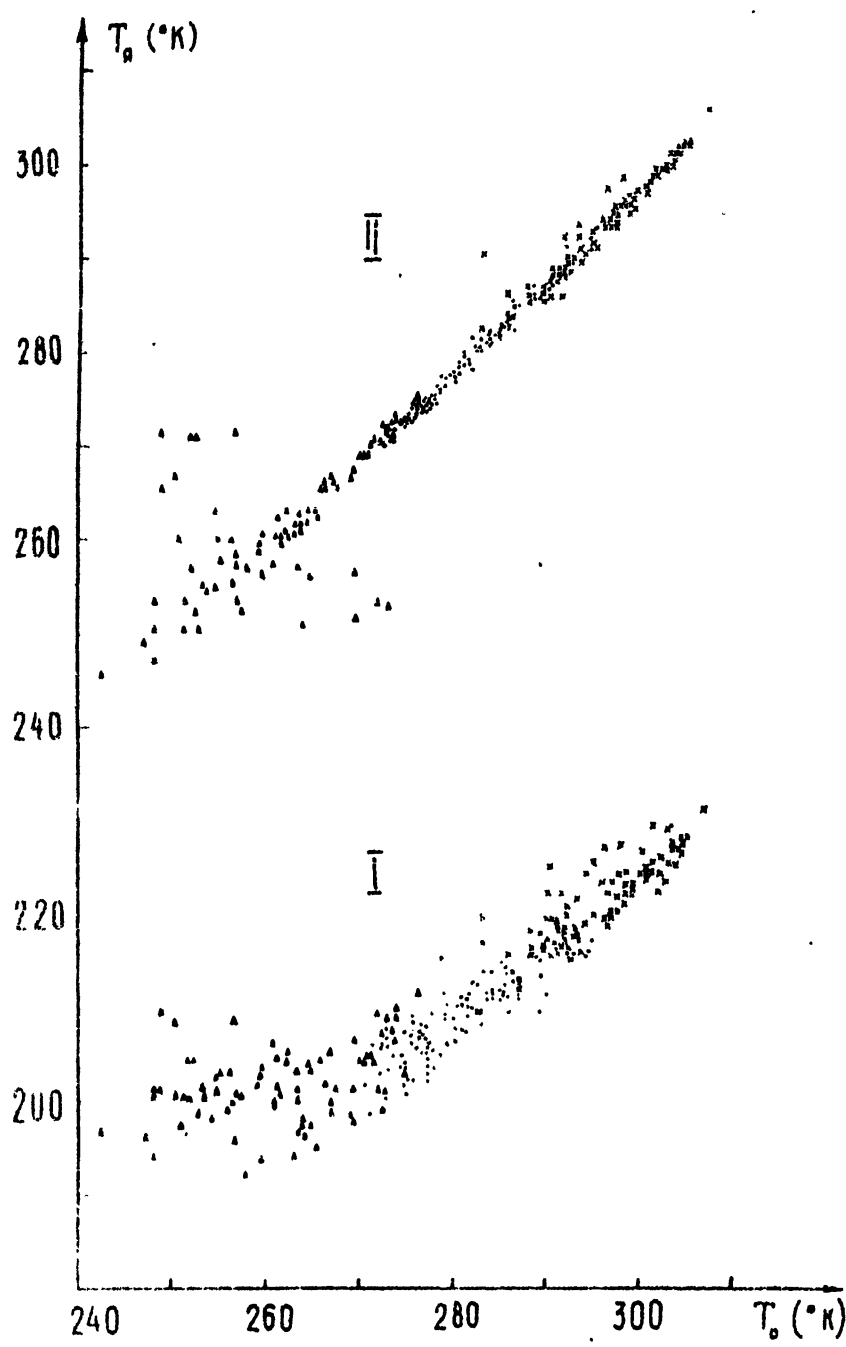
1. E.R.Westwater. Monthly Weather Review, 100, N1,  
15(1972).
2. G.F.Miner,D.D.Thornton,W.J.Welch.J.Geoph.Res.,  
72,975 (1972).
3. D.H.Staelin, A.H.Barrett,J.W.Waters,F.T.Barath,  
E.T.Johnston,P.W.Rosenkranz,N.E.Gaut,W.B.Lenoir.  
Science, 182, 1339 (1973).
4. D.H.Staelin. Proc.of the 6-th Conference on Aero-  
space and Aeronautical Meteorology, 12-15 Novem-  
ber, 1974. Publ.Amer.Meteor.Soc., Boston, p.216.
5. А.Т.Ершов, А.П.Наумов, Изв.высш.уч.заведений, Радиофи-  
зики, 17, № 11 1610 (1974).
6. Ю.В.Лебский, Л.К.Сизьмина, А.М.Штанюк. Препринт №  
64. НИРФИ. г.Горький, 1974 г.
7. Ю.В.Лебский, А.П.Наумов, В.М.Плечиков, Л.К.Сизьмина,  
А.В.Троицкий, А.М.Штанюк. Изв.высш.уч.зав. Радиофи-  
зики, 18, № 12 (1976).
8. А.В.Троицкий. Изв. высш.уч.зав. Радиофизика (в печати).
9. В.Ф.Турчин, В.П.Козлов, М.С.Малкевич. Усп.физ.наук.  
102 № 3, 345 (1970).
10. А.Т.Ершов, Ю.В.Лебский, А.П.Наумов, В.М.Плечиков.  
Изв. АН СССР, сер. "Физика атмосферы и океана"  
(в печати).
11. Л.С.Гандин. Труды ГГО, вып. 114, 75 (1980).

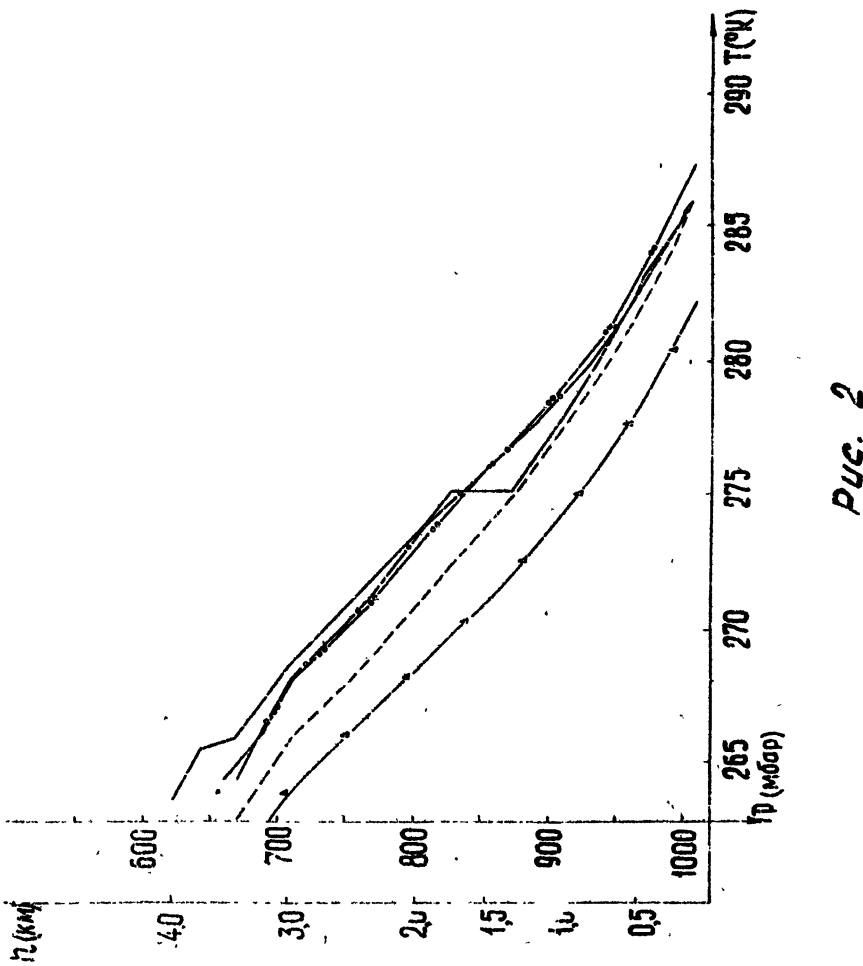
ПОДЛИСИ К РИСУНКАМ.

Рис. 1. Сопоставление яркостных температур атмосферы  $T_y$  на частоте  $\nu = 53,4$  ГГц с приземными значениями температуры  $T_o$  в континентальном районе (ЕТС): I -  $\theta = 0^\circ$ , II -  $\theta = 85^\circ$ . Треугольники - зима, точки - весна, кресты - лето.

Рис. 2. Пример восстановления температурного профиля  $T(P)$  по угломестным измерениям атмосферного излучения на частоте  $\nu = 53,4$  ГГц 4.12.1974 г.: сплошная линия - зондовые значения  $T(P)$ , треугольники - среднеклиматические сезонные значения, один кружок - результаты восстановления из экспериментальных значений  $T_y$  с привязкой к поверхностной температуре, два кружка - то же без привязки к поверхностной температуре, штриховая линия - профиль, вычисленный методом оптимальной экстраполяции.

Рис. 3. Пример восстановления температурного профиля  $T(P)$  по угломестным измерениям атмосферного излучения на частоте  $\nu = 53,4$  ГГц 18.12.1974 г. Обозначения те же, что и на рис. 2.





PUC. 2

12c.

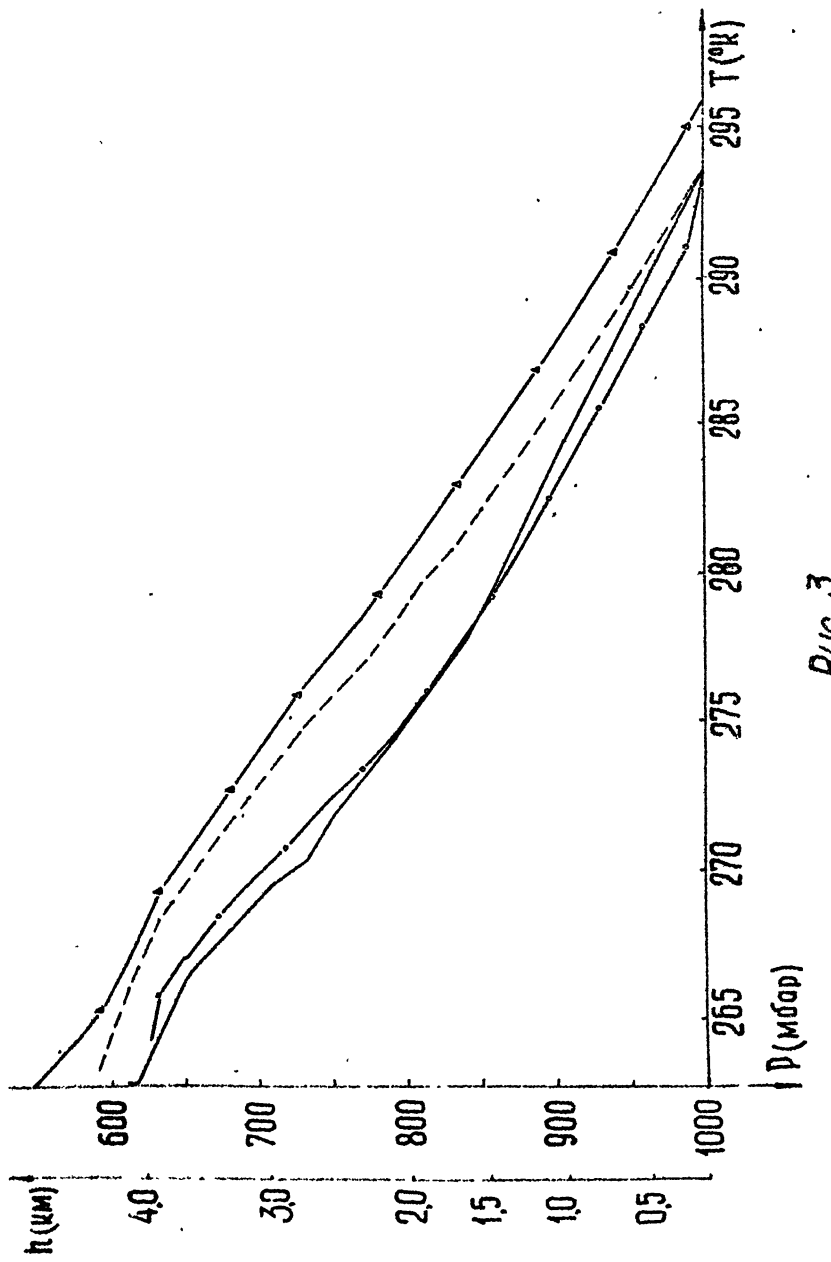


Рис. 3